

¹О.П. Шармазанова,
¹М.І. Спузяк,
¹О.В. Волковська,
²О.М. Козирев

¹Харківська медична академія
післядипломної освіти,

²Обласна клінічна
травматологічна лікарня,
Харків

Рентгенологічне стадіювання деформівного спондилоартрозу поперекового відділу хребта

X-ray staging of spondyloarthritis deformans
of the lumbar spine

Цель работы: Установить рентгенологические критерии степеней выраженности деформирующего спондилоартроза поясничного отдела позвоночника.

Материалы и методы: Проведено клинико-рентгенологическое исследование 227 больных в возрасте 18–82 года с вертебралгиями, корешковыми неврологическими симптомами, нарушением походки. Всем им выполняли обзорные рентгенограммы, при необходимости — прицельные, $\frac{3}{4}$ и функциональные. У 64 пациентов проведена мультиспиральная компьютерная томография поясничного отдела позвоночника. Всего проанализировано состояние 908 его позвоночно-двигательных сегментов.

Результаты: Рентгенологические признаки деформирующего спондилоартроза выявлены у 27,8 % больных молодого возраста (до 35 лет), 52,4 % у людей в возрасте 36–48 лет, 76,2 % в возрасте 49–60 и в 89,6 % старше 60 лет. Всего были установлены поражения 619 сегментов (68,2 %), чаще спондилоартроз был диагностирован в дугогоростчатых суставах сегментов L₄–L₅ (32,8 %), L₅–S₁ (30,2 %) ($p < 0,05$), реже — в сегментах L₃–L₄ (22,8 %) и L₂–L₃ (14,2 %). На основании проведенного исследования выделены рентгенологические признаки четырех стадий выраженности деформирующего спондилоартроза.

Выводы: Стадирование деформирующего спондилоартроза дает более полную информацию для определения прогрессирования дистрофического процесса межпозвонковых суставов поясничного отдела позвоночника, что следует учитывать при динамическом наблюдении больных, а также при проведении медико-социальной экспертизы таких пациентов.

Ключевые слова: деформирующий спондилоартроз, дугогоростчатые суставы, рентгенография.

Мета роботи: Встановити рентгенологічні критерії ступеня вираженості деформівного спондилоартрозу поперекового відділу хребта.

Матеріали і методи: Проведено клініко-рентгенологічне дослідження 227 хворих віком 18–82 роки з вертебралгіями, корінцевими неврологічними симптомами, порушенням ходи. Всім їм виконували оглядові рентгенограми, при необхідності — прицільні, $\frac{3}{4}$ та функціональні. 64 пацієнтам проведено мультиспіральну комп’ютерну томографію поперекового відділу хребта. Всого проаналізовано стан 908 його хребетно-рухових сегментів.

Результатами: Рентгенологічні ознаки деформівного спондилоартрозу виявлено в 27,8 % пацієнтів молодого віку (до 35 років), 52,4 % — віком 36–48 років, в 76,2 % — віком 49–60 років і в 89,6 % старших 60 років. Всого було встановлено ураження 619 сегментів (68,2 %), найчастіше спондилоартроз було діагностовано в дугогідросткових суглобах сегментів L₄–L₅ (32,8 %), L₅–S₁ (30,2 %) ($p < 0,05$), рідше — в сегментах L₃–L₄ (22,8 %) і L₂–L₃ (14,2 %). На підставі проведеного дослідження виділено рентгенологічні ознаки чотирьох стадій вираженості деформівного спондилоартрозу.

Висновки: Стадіювання деформівного спондилоартрозу дає повнішу інформацію для визначення прогресування дистрофічного процесу міжхребцевих суглобів поперекового відділу хребта, що слід враховувати при динамічному спостереженні хворих, а також при проведенні медико-соціальної експертизи таких пацієнтів.

Ключові слова: деформівний спондилоартроз, дугогідросткові суглоби, рентгенографія.

Біль у спині — один із найпоширеніших розладів у людській популяції. Він займає друге місце за частотою звернень полікарську допомогу після

гострих респіраторних захворювань. Більш-менш тривала втрата працевдатності і часта госпіталізація зумовлюють значні суспільні економічні втра-

ти [1, 2]. Близько половини людей практічно го віку переносять епізоди болю у спині, пов’язані з дегенеративно-дистрофічними змінами в хребетних сегментах. Найбільш поширенішими причинами страждання хребта, що супроводжуються болями й іншими розладами, є остеохондроз і спондилоартроз [3, 4].

Спондилоартроз—це окрема форма остеоартрозу, що представляє собою гетерогенну форму захворювань, різних за клінічною картиною і наслідками, в основі яких лежить ураження всіх складових елементів суглоба—хряща, субхондральної кістки, зв’язок, капсули і періартикулярних м’язів. Найтипічною локалізацією остеоартрозу є артрози колінних і кульшових суглобів, а також хребта [2, 5, 6].

Під терміном «деформівний спондилоартроз» (ДСА) розуміють дегенеративно-дистрофічний процес у дуговідросткових суглобах, який може бути первинним (при перевантаженнях нормальної кісткової структури) та вторинним (на ґрунті остеохондрозу, аномалій розвитку, травм, сколіотичних деформацій).

Спондилоартроз—захворювання не тільки людей похилого віку, хоча це 85–90 % випадків. У молодих осіб артрозні зміни у хребті можуть розвиватися з дитинства, чому сприяють уроджені аномалії хребта, гіpermобільність хребетних сегментів і, звичайно ж, травматизація [2, 6, 7].

Для поперекового спондилоартрозу характерний хронічно рецидивний ниочий біль у поперековій ділянці, який може віддавати в сідничну зону, а також у стегна. Біль виникає найчастіше після більш-менш тривалого перебування в одноманітній позі (сидячи, лежачи), при переході зі стану спокою до руху, супроводжується відчуттям скрутості в поперековому відділі хребта, зникає після різноманітних рухів у попереку (фасетковий синдром) [1, 2, 7]. Необхідно зауважити, що спондилоартроз найчастіше спричиняє болювий синдром у нижній частині спини, і, крім того, часто поєднується з іншими дегенеративними змінами хребетного сегмента і може посилювати їх прояви [2, 4, 8].

Променеві методи дослідження, зокрема традиційна рентгенографія і комп’ютерна томографія (КТ), залишаються основними в прижиттєвій діагностиці змін дуговідросткових суглобів. Незважаючи на те, що рентгенологічні прояви ДСА

відомі, ступені його тяжкості досі не визначені, хоча їх необхідно враховувати як при динамічному спостереженні хворих, так і при описі рентгенограм для проведення медико-соціальної експертизи.

Нашою метою було встановити рентгенологічні критерії ступенів вираженості ДСА поперекового відділу хребта.

Методика дослідження

Проведено клініко-рентгенологічне дослідження 227 хворих віком 18–82 роки з вертебралгіями, корінцевими неврологічними симптомами, порушенням ходи. З них 109 хворих було прооперовано з приводу гриж міжхребцевих дисків, 118 — отримували лише консервативне лікування, групи були рандомізовані за статтю і віком. Всім пацієнтам виконували оглядові рентгенограми, за необхідності — прицільні, $\frac{3}{4}$ та функціональні. Мультиспіральну комп’ютерну томографію поперекового відділу хребта проведено 64 пацієнтам. Всього проаналізовано стан 908 хребетно-рухових сегментів поперекового відділу хребта.

Вивчення спондилограм проводили як візуально (аналіз форми, розмірів, структури, контурів і замикальних пластин тіл хребців, стану міжхребцевих дисків, дуг, відростків, дуговідросткових суглобів, осі хребта, хребетного каналу і паравертебральних м’яких тканин), так і з використанням рентгенограметрії, однак у даній праці будуть подані лише результати аналізу дуговідросткових суглобів, який охоплював вивчення розмірів суглобових щілин, стану замикальних пластинок, субхондральних зон, структури суглобових відростків, а також їх розмірів, їх розташування відносно замикальних пластин суміжних хребців, відносно осі тіла хребця).

Результати та їх обговорення

При аналізі рентгенограм ознаки ДСА виявлено у 27,8 % пацієнтів молодого віку (до 35 років), 52,4 %—віком 36–48 років, 76,2 %—віком 49–60 років і в 89,6 % обстежених старше 60 років. Виявлено деякі особливості, що залежать від статі. У жінок віком до 48 років ДСА зустрічався в 45,7 % випадків, віком 49–60 років — у 71,8 %; 61–70 років — 81,5 %; старших 70 років — у 89,5 %. У чоловіків деформівний спондилоартроз трапляється ще частіше: до 48 років — у 58,3 %; у віці 49–60 років — у 77,8 %; 61–70 років — у 92,8 %, старших 70 років — практично в 100 % випадків.

Всього було встановлено ураження 619 сегментів (68,2 %), найчастіше — в дуговідросткових суглобах сегментів L₄-L₅ (32,8 %), L₅-S₁ (30,2 %) ($p < 0,05$), рідше — в сегментах L₃-L₄ (22,8 %) і L₂-L₃ (14,2 %). Нормальний стан дуговідросткових суглобів встановлено в 289 сегментах (31,8 %). При цьому необхідно зауважити,

що повністю нормальній стан дуговідросткових суглобів (рисунок 1) визначенолише у 24 пацієнтів (10,6%), ураження двох сегментів діагностовано в 26,4% випадків і в 63,0% (143 пацієнта) — ураження трьох і більше сегментів ($p < 0,001$).

У 78,4% випадків ДСА поєднувався з остеохондрозом, причому при консервативному лікуванні таке поєднання відзначено в 58,5% випадків, у групі хворих з оперативним лікуванням — у 100%. У хворих молодого віку спондилоартроз не мав ознак остеохондрозу при наявності аномалії розвитку суглобових відростків, найчастіше діагностували аномалію тропізму (25,6%), в 31 % випадків відростки розташовувалися практично перпендикулярно один до одного, в 69% — під різними гострими кутами.

Наявність ДСА в дуговідросткових суглобах встановлювали за відомими рентгенологічними ознаками: нерівномірні звуження суглобних щілин; нерівністю, хвилястістю, стовщенням замикальних пластин суглобових відростків; подовженням суглобових відростків за рахунок кісткових розростань; формуванням неоартрозів з коренями дужок, вище розташованих хребців (при значних розростаннях).

На підставі проведеного дослідження ми пропонуємо виділяти рентгенологічні ознаки чотирьох ступенів вираженості деформівного спондилоартрозу:

1-й: на рентгенограмах — нерівномірне звуження суглобової щілини, нерівність, деяке стовщення замикальних пластин, загострення країв суглобових відростків; на аксіальних КТ-сканах, крім наведених ознак, — асиметрія суглобних

щілин і невеликі лінійні кісткові розростання, рідко — субхондральні ерозії (рисунок 2);

2-й: на рентгенограмах — виражене нерівномірне звуження суглобових щілин, явне стовщення, нерівність замикальних пластин, наявність крайових кісткових розростань, які можуть доходити до замикальних пластин тіл розміщених вище хребців; на КТ сканах — виражені лінійні і трикутної форми кісткові розростання з деяким звуженням міжхребцевого отвору, субхондральні ерозії суглобових відростків (рисунок 3);

3-й: на рентгенограмах — виражене нерівномірне звуження суглобової щілини, значне стовщення, нерівність замикальних пластин, виражені крайові кісткові розростання, які накладаються на розташований вище хребець, наявність симптуму «інклінації» в бічній проекції; на КТ сканах — кістоподібна перебудова структури суглобових відростків, їх збільшення за рахунок значно виражених різної форми крайових кісткових розростань, які можуть змінювати плоску форму дуговідросткових суглобів на округлу та кулясту, стовщення і часткове звапнення жовтих зв'язок (рисунок 4).

4-й: на рентгенограмах — виражене нерівномірне звуження суглобової щілини, значне стовщення, нерівність замикальних пластин, значно виражені крайові розростання, які можуть доходити до коренів дуг розміщених вище хребців з формуванням неоартрозів з ними, кістоподібна перебудова структури суглобових відростків, наявність фораменального стенозу (рисунок 5); на аксіальних КТ сканах — всі симптоми, характерні для 3-ї стадії, посилюються, наявність

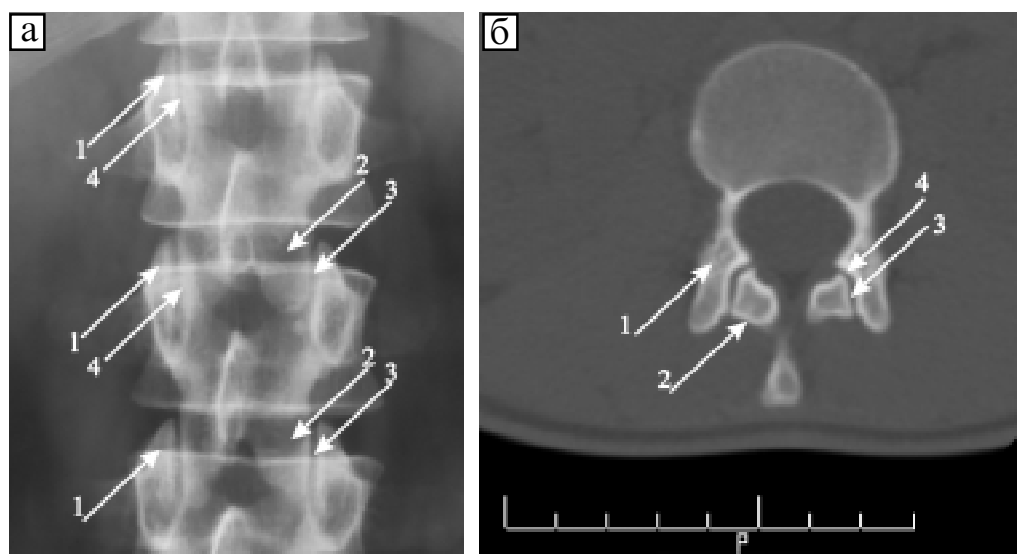


Рисунок 1. Нормальне зображення дуговідросткових суглобів: а — на рентгенограмі у прямій проекції; б — на аксіальній комп’ютерній томограмі: 1 — верхні суглобові відростки, 2 — нижні суглобові відростки, 3 — суглобові щілини, 4 — замикальні пластинки

Fig. 1. Normal image of intervertebral joints:
a — x-ray film in frontal projection; б — axial CT scan:
1 — upper joint processes,
2 — lower joint processes,
3 — joint space, 4— arch laminae

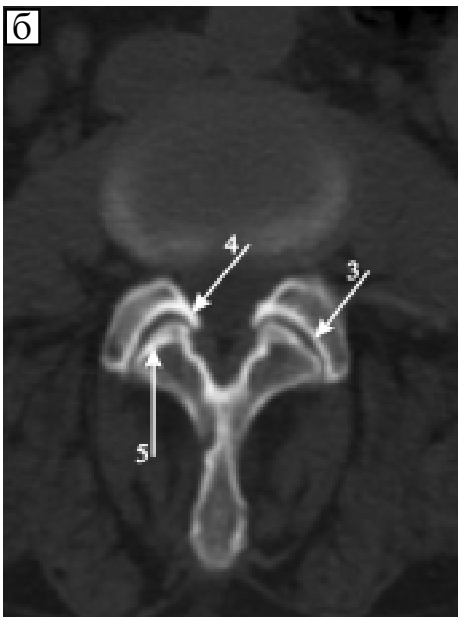


Рисунок 2. Деформівний спондилопартроз сегментів L₃-L₄; L₄-L₅ 1-го ступеня: а — на рентгенограмі в прямій проекції (стрілка 1 — деяке звуження суглобової щілинни та стовщення замикальних пластин; стрілка 2 — загострення країв суглобових відростків); б — на аксіальній томограмі (3 — асиметрія суглобових щілин, 4 — невеликі лінійні кісткові розростання, 5 — субхондральні ерозії)

Fig. 2. Grade 1 spondyloarthritis deformans of L₃-L₄; L₄-L₅: a — x-ray film in frontal projection (arrow 1 — some narrowing of the joint space, and thickening of the arch laminae; arrow 2 — sharpening of the edges of the joint processes); b — axial CT scan (3 — asymmetry of the joint spaces,, 4 — small linear bone growths, 5 — subchondral erosions)

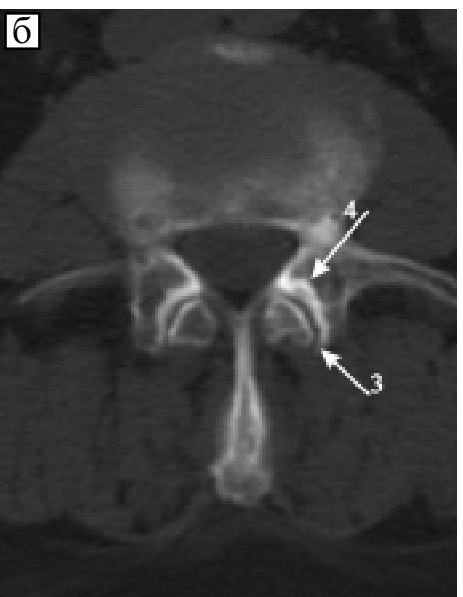
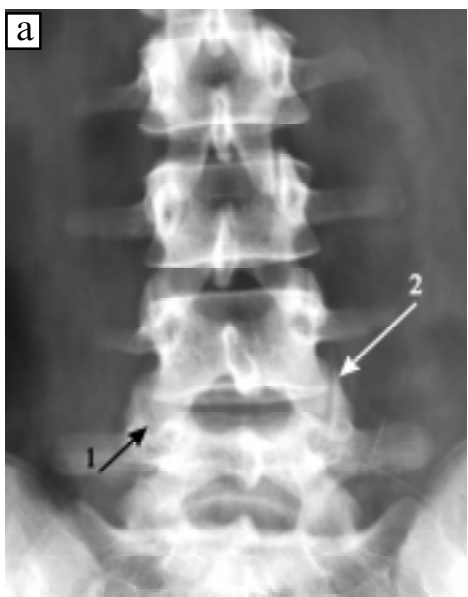


Рисунок 3. Деформівний спондилопартроз сегментів L₃-L₄ і L₅-S₁ 1-го ступеня, сегмента L₄-L₅ 2-го ступеня: а — на рентгенограмі в прямій проекції (1 — виражене нерівномірне звуження суглобових щілин, нерівність замикальних пластин, 2 — крайові кісткові розростання, які доходять до каудальної замикальної пластини тіла L₄); б — на аксіальній томограмі (3 — виражені кісткові розростання трикутної форми, 4 — субхондральні еrozії суглобових відростків)

Fig. 3. Grade 1 spondyloarthritis deformans of L₃-L₄ i L₅-S₁, grade 2 of L₄-L₅ a — x-ray film in frontal projection (1 — pronounced uneven narrowing of the joint spaces, irregular end plates, 2 — marginal bone growths reaching caudal end plate of L₄ body); b — axial CT scan (3 — pronounced triangular bone growths, 4 — subchondral erosions of joint processes)

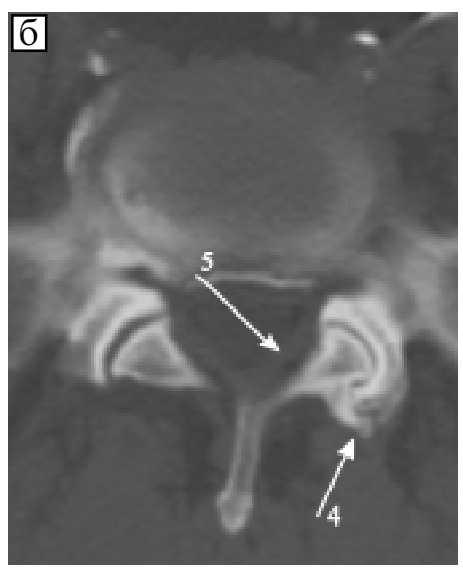
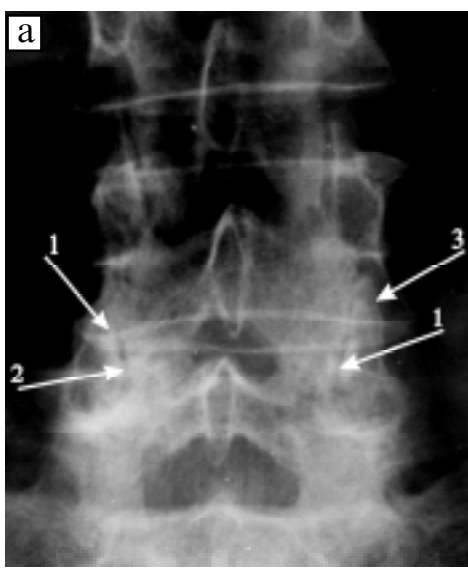


Рисунок 4. Деформівний спондилопартроз сегментів L₄-L₅ і L₅-S₁ 3-го ступеня: а — на рентгенограмі в прямій проекції (1 — виражене нерівномірне звуження суглобової щілинни, 2 — нерівність замикальних пластин, 3 — подовження суглобових відростків за рахунок кісткових розростань, які накладаються на розташовані вище хребець); б — на аксіальній томограмі (4 — збільшення суглобових відростків за рахунок значно виражених крайових кісткових розростань з формуванням округлої форми дуговідrostkovих суглобів, 5 — стовщення і часткове звапнення жовтих зв'язок)

Fig. 4. Grade 3 spondyloarthritis deformans of L₄-L₅ i L₅-S₁: a — x-ray film in frontal projection (1 — pronounced irregular narrowing of the joint space, 2 — irregular arch laminae, 3 — elongation of the articular processes with bone growths which superimposed on the upper located vertebra); b — axial CT scan (4 — enlargement of the joint processes with pronounced marginal bone growths with formation of spherical intervertebral joints, 5 — thickening and partial calcification of yellow ligaments)

6 — axial CT scan (4 — enlargement of the joint processes with pronounced marginal bone growths with formation of spherical intervertebral joints, 5 — thickening and partial calcification of yellow ligaments)

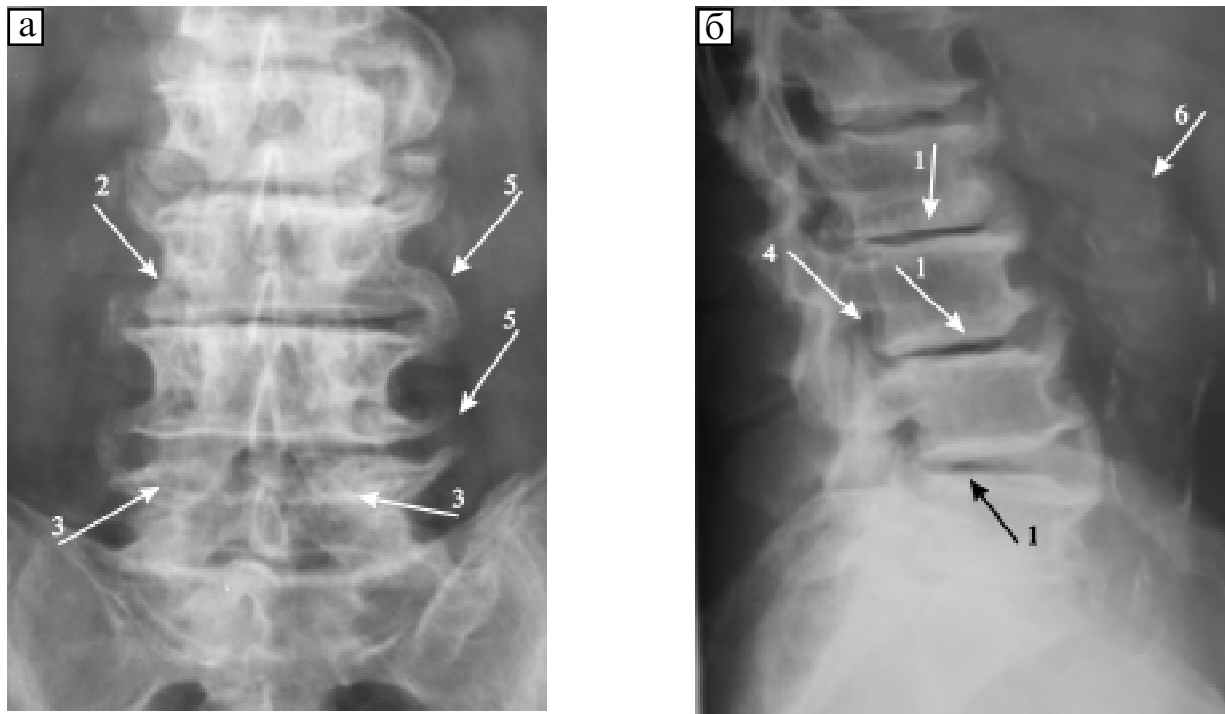


Рисунок 5. На рентгенограмах: а — у прямій і б — бічній проекціях визначається полісегментарний остеохондроз з наявністю «вакуум-феномена» міжхребцевих дисків (1), полісегментарний деформівний спондилоартроз 4-го ступеня (2 — неоартроз, 3 — кістоподібна перебудова структури суглобових відростків, 4 — фораменальний стеноз), деформівний спондильоз (5), крім того, визначається нерівномірне зваження черевної аорти (6)

Fig. 5. X-ray films: a — in frontal projection b — in lateral projection demonstrate polysegment osteochondrosis with presence of vacuum phenomenon of intervertebral discs (1), polysegment grade 4 spondyloarthrosis deformans (2 — neoarthritis, 3 — bone-like reconstruction of the joint process structure, 4 — foramen stenosis (5), besides uneven calcification of the abdominal aorta is present (6)



Рисунок 6. Деформівний спондилоартроз сегмента L_4-L_5 4-го ступеня на комп'ютерних аксіальних томограмах: 1 — кістоподібна перебудова структури суглобових відростків, 2 — наявність «вакуум-феномена», 3 — скостеніння жовтих зв'язок, 4 — звуження фораменального отвору

Fig. 6. Grade 4 spondyloarthritis deformans of L_4-L_5 on axial CT scans: 1 — bone-like reconstruction of the structure of the articular processes, 2 — presence of vacuum phenomenon, 3 — ossification of yellow ligaments, 4 — narrowing of the foramen

«вакуум-феномена», стовщення і скостеніння жовтих зв'язок, звуження фораменального отвору (рисунок 6).

За нашими даними на звичайних рентгенограмах 1-й ступінь ДСА встановлений в 5,2 % сегментів, 2-й — у 18,7%, 3-й — у 52,0% ($p < 0,01$) і 4-й ступінь — у 24,1 % сегментів, тобто за рентгенологічними показниками найчастіше діагностується 3-й ступінь ДСА. Пряма кореляція з клінічними проявами встановлена лише в 3–4 ступенях ДСА ($r = 0,72$). У 3-му, і особливо 4-му ступенях, ДСА поєднувався з міжхребцевим остеохондрозом (див. рисунок 5), що обтяжувало проявифораменального стенозу. При аналізі комп'ютерних томограм 1-й ступінь ДСА встановлено в 12,9 % сегментів, 2-й — у 24,2%, 3-й — у 34,2% і 4-й ступінь — у 28,7 %, тобто початкові ознаки ДСА за допомогою КТ виявляли вірогідно частіше ($p < 0,05$).

Таким чином, спондилоартроз поперекового відділу хребта розвивається, якщо виникає функціональне перевантаження. Природно, що найчастіше воно трапляється в осіб старших вікових груп, оскільки у них і анатомо-функціональні резерви менші, і порушення форми хребта поширеніші. Спондилоартроз може розвинутися як у поєднанні з іншими дистрофічними змінами хребта (хондроз, остеохондроз), так і самостійно — при аномаліях і деформаціях хребта (гіперlordоз, сколіоз). У тому й іншому випадку основне статичне і динамічне навантаження переміщується на дуговідросткові суглоби. У разі хондрозу об остеохондрозу це відбувається внаслідок зменшення висоти диска, при деформаціях хребетного стовпа сама зміна його форми може привести до розвантаження дисків і перевантаження задніх відділів сегментів.

Остеофіти суглобових відростків можуть призводити до звуження міжхребцевих отворів і подрізнення нервових корінців, які крізь них проходять, з розвитком корінцевого синдрому. Крім цього, остеофіти можуть призводити до звуження хребетного каналу (див. рисунок 6).

Спондилоартроз може також відігравати певну роль у розвитку бульового синдрому і при інших патогенетичних ситуаціях (грижа або протрузія міжхребцевого диска, стеноз хребетного каналу, нестабільність) [1, 2, 5, 7].

Висновки

Стадіювання деформівного спондилоартрозу дає більш повну інформацію для визначення прогресування дистрофічного процесу міжхребцевих суглобів поперекового відділу хребта, що слід враховувати при динамічному спостереженні хворих, а також проведенні медико-соціальної експертизи таких пацієнтів.

Література

1. Михайлів В.П. // Хирург. позвоночника. – 2004. – № 1. – С. 7–9.
2. Продан А.И., Радченко В.А., Корж Н.А. Дегенеративные заболевания позвоночника – Харьков: ИПП «Контраст», 2007. – 272 с.
3. Коваль Г.Ю., Мечев Д.С., Сиваченко Т.П. та ін. Променева діагностика. В 2-х т. За ред. Г.Ю. Коваль. – К.: Медицина України, 2009. – Т.ІІ. – 682 с.
4. Спузяк М.І. Розширені лекції з рентгенодіагностики системи опори та руху – Харків: Вид-во «Амос», 2009. – 296 с.
5. Труфанов Г.Е., Рамешвили Т.Е., Дергунов Н.И., Фокін В.А. – Ізд. 2-е, испр. – СПб: ЭЛБІЙ-СПб, 2011. – 288 с.
6. Boden S.D. // The Journ. of Bone and Joint Surg. (American). – 1996. – Vol. 78. – P.114–124.
7. Chittkara Y.K. // Am. J. Clin. Pathol. – 2006. – Vol. 126, № 2. – P. 315–327.
8. Emch T.M., Modic M.T. // Skelet. Radiol. – 2011. – Vol.40, № 9. – P. 1175–1189.

Надходження до редакції 13.02.2013.

Прийнято 18.02.2013.

Адреса для листування:
Шармазанова Олена Петрівна,
Харківська медична академія післядипломної освіти,
вул. Корчагінців, 58, Харків, 61176, Україна